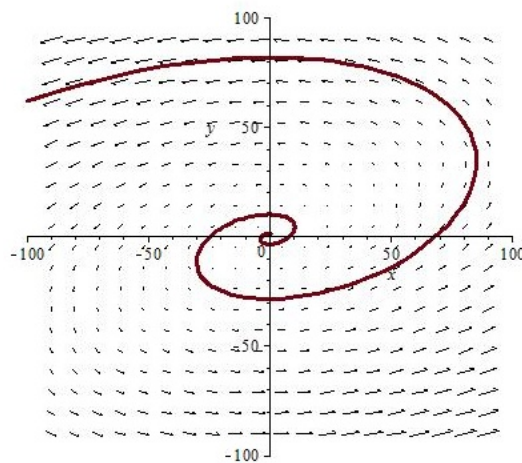


MASARYKOVA UNIVERZITA • PŘÍRODOVĚDECKÁ FAKULTA

Anton Galaev

ÚLOHY Z GLOBÁLNÍ ANALÝZY



Brno 2013

OBSAH

Předmluva	2
1. Podvariety číselných prostorů	3
2. Hladké variety a hladká zobrazení	4
3. Tečné bandly a vektorová pole	5
4. Tenzory	6
5. Tenzorová pole	8
6. Vnější diferenciální formy	8
7. Lineární konexe a Riemannovy prostory	10
Návody a výsledky cvičení	13
Použitá literatura	18

Předmluva

Tato sbírka úloh vznikla během výuky předmětu "Globální analýza" v letech 2011-2013 na Přírodovědecké fakultě Masarykovy univerzity v Brně jako doplnění ke skriptu prof. RNDr. Ivana Koláře, DrSc [2].

Autor děkuje prof. RNDr. Janu Slovákovi, DrSc za všeobecnou podporu a Mgr. Martinu Panákovi, Ph.D. za opravu textu.

1. Podvariety číselných prostorů

1.1. Vypočtěte Jakobiho matice a Jakobiány (pokud existují) následujících zobrazení. Které z těchto zobrazení jsou imerse, submerse a difeomorfismy na svůj obraz?

- a) $x = 3\rho \cos t$, $y = 4\rho \sin t$, $(\rho, t) \in (0, 1) \times (0, 2\pi)$;
 b) $x = \cos u \cos v$, $y = \sin u \cos v$, $z = \sin v$, $(u, v) \in (0, 2\pi) \times (-\frac{\pi}{2}, \frac{\pi}{2})$;
 c) $x = \sqrt{\rho} \cos \varphi$, $y = \sqrt{\rho} \sin \varphi$, $z = \rho$, $(\rho, \varphi) \in (0, +\infty) \times (0, 2\pi)$;
 d) $x = \frac{2u}{1+u^2+v^2}$, $y = \frac{2v}{1+u^2+v^2}$, $(u, v) \in \mathbb{R} \times \mathbb{R}$.

1.2. Ukažte, že podmnožina $M \subset \mathbb{R}^n$ je podvarietou dimenze 0 právě tehdy, když $M \subset \mathbb{R}^n$ je diskrétní podmnožina, tj. pro každý bod $x \in M$ existuje jeho okolí $U \subset \mathbb{R}^n$ takové, že $M \cap U = \{x\}$.

1.3. Ukažte, že podmnožina $M \subset \mathbb{R}^n$ je podvarietou dimenze n právě tehdy, když $M \subset \mathbb{R}^n$ je otevřená podmnožina.

1.4. Dokažte, že podmnožina $M = \{(x, y) \mid xy = 0\} \subset \mathbb{R}^2$ není podvarietou prostoru \mathbb{R}^2 .

1.5. Dokažte, že trojúhelník není podvarietou roviny.

1.6. Dokažte, že množina

$$\{(0, y) \in \mathbb{R}^2 \mid -1 < y < 1\} \cup \left\{ \left(x, \sin \left(\frac{1}{x} \right) \right) \in \mathbb{R}^2 \mid x > 0 \right\}$$

není podvarietou prostoru \mathbb{R}^2 .

1.7. Rozhodněte, je-li řešení rovnice $x^5 + y^5 + z^5 + w^5 = 1$ podvarietou \mathbb{R}^4 .

1.8. Rozhodněte, je-li řešení soustavy rovnic $x^3 + y^3 + z^3 = 1$, $z = xy$ podvarietou prostoru \mathbb{R}^3 .

1.9. Pro které hodnoty konstanty c je množina

$$\{(x, y, z) \in \mathbb{R}^3 \mid x^2 + y^2 - z^2 = c\}$$

dvourozměrnou podvarietou prostoru \mathbb{R}^3 ?

1.10. Ukažte, že množina $GL(n, \mathbb{R})$ všech čtvercových matic n -tého řádu s nenulovým determinanem je podvarietou prostoru \mathbb{R}^{n^2} . Určete její dimenzi.

1.11. Ukažte, že množina $SL(n, \mathbb{R})$ všech čtvercových matic n -tého řádu s determinanem 1 je podvarietou prostoru \mathbb{R}^{n^2} . Určete její dimenzi.

1.12. Ukažte, že množina $O(n)$ všech ortogonálních čtvercových matic n -tého řádu je podvarietou prostoru \mathbb{R}^{n^2} . Určete její dimenzi.

1.13. Necht' $M_1 \subset \mathbb{R}^{n_1}$ a $M_2 \subset \mathbb{R}^{n_2}$ jsou m_1 a m_2 rozměrné podvariety. Dokažte, že $M_1 \times M_2 \subset \mathbb{R}^{n_1+n_2}$ je $(m_1 + m_2)$ -rozměrnou podvarietou.

1.14. Ukažte aspoň dvěma způsoby, že anuloid (též torus) $T^m = S^1 \times \dots \times S^1$ je podvarietou prostoru \mathbb{R}^{2m} .

1.15. Dokažte, že graf zobrazení $f : \mathbb{R}^n \rightarrow \mathbb{R}^m$ třídy C^r je n -rozměrnou podvarietou prostoru \mathbb{R}^{n+m} třídy C^r .

2. Hladké variety a hladká zobrazení

2.1. Ověřte, je-li dvojice $((-1, 1), f(x) = \sqrt{1 - x^2})$ mapou slučitelnou se standardní mapou na \mathbb{R} .

2.2. Ukažte, že dvojice $(\mathbb{R}, x \mapsto x^3)$ je mapou na množině \mathbb{R} . Ukažte, že tato mapa není slučitelná se standardní mapou na \mathbb{R} . Nechť \mathbb{R}' je varieta, jejíž diferenciální strukturu určuje tato mapa. Ukažte, že varieta \mathbb{R}' je difeomorfní varietě \mathbb{R} se standardní diferenciální strukturou.

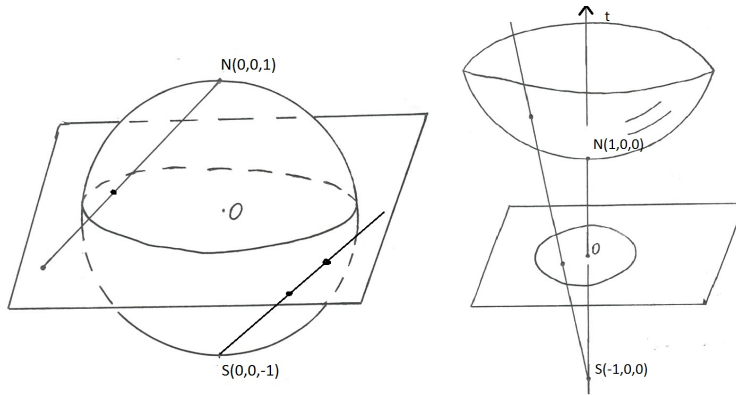
2.3. Nechť \mathcal{A}_1 a \mathcal{A}_2 jsou atlasy na topologickém prostoru M . Dokažte, že následující tvrzení jsou ekvivalentní:

- atlasy \mathcal{A}_1 a \mathcal{A}_2 jsou slučitelné (tj. $\mathcal{A}_1 \cup \mathcal{A}_2$ je zase atlasem na M);
- každá mapa s \mathcal{A}_1 je slučitelná s každou mapou s \mathcal{A}_2 ;
- \mathcal{A}_1 a \mathcal{A}_2 jsou podmnožinami stejného maximálního atlasu;
- \mathcal{A}_1 a \mathcal{A}_2 určují stejnou množinu hladkých funkcí na každé otevřené podmnožině $U \subset M$.

2.4. Dokažte, že relace slučitelnosti atlasů je relací ekvivalence.

2.5. Sestrojte atlasy na elipsu $x^2 + \frac{y^2}{4} = 1$.

2.6. Sestrojte atlasy na sféře $S^2 \subset \mathbb{R}^3$ pomocí stereografické projekce (viz. obrázek 1) a pomocí ortogonální projekce na souřadnicové roviny. Ukažte, že tyto atlasy jsou ekvivalentní.



OBRÁZEK 1. Stereografická projekce

2.7. Sestrojte atlas na povrchu Lobačevského

$$L^2 = \{(t, x, y) \in \mathbb{R}^3 \mid t^2 - x^2 - y^2 = 1, t > 0\}$$

pomocí stereografické projekce (viz. obrázek 1) a pomocí ortogonální projekce na rovinu $t = 0$. Ukažte, že tyto atlasy jsou ekvivalentní.

2.8. Ukažte, že na sféře neexistuje atlas obsahující jenom jednu mapu.

2.9. Dokažte, že souřadnicové funkce x, y, z jsou hladké na sféře $S^2 \subset \mathbb{R}^3$.

2.10. Ukažte, že kanonická projekce $\pi : S^2 \rightarrow \mathbb{R}P^2$ je hladké zobrazení.

2.11. Dokažte, že konstantní zobrazení variet $f : M \rightarrow N$, $f(x) = y_0$ pro všechna $x \in M$, je hladké.

2.12. Ukažte, že rotace kružnice je difeomorfismem.

2.13. Ukažte, že zobrazení hladkých variet $f : M \rightarrow N$ je hladké právě tehdy, když zobrazení $f \circ g$ je hladké pro libovolné hladké zobrazení $g : U \rightarrow M$ libovolné otevřené podmnožiny $U \subset \mathbb{R}^k$.

3. Tečné bandly a vektorová pole

3.1. Dokažte, že difeomorfní hladké variety mají stejné dimenze.

3.2. Určete tečný prostor k elipse $x^2 + \frac{y^2}{4} = 1$ v bodě $\left(\frac{\sqrt{2}}{2}, \sqrt{2}\right)$. Určete relace mezi bázovými tečnými vektory odpovídajícím různým lokálními mapám v tomto bodě.

3.3. Ukažte, že $T_{(x,y)}M \times N = T_xM \oplus T_yN$, kde M a N jsou variety a $x \in M$, $y \in N$.

3.4. Určete tečný prostor variety $SL(n, \mathbb{R})$ v bodě E .

3.5. Určete tečný prostor variety $O(n)$ v bodě E .

3.6. Pro hladké zobrazení variet $f : M \rightarrow N$ ukažte, že tečné zobrazení $f_* : TM \rightarrow TN$ je hladké.

3.7. Určete Xf , kde $X = x\frac{\partial}{\partial x} + y\frac{\partial}{\partial y}$ je vektorové pole a $f = x^2 + y^2 + z^2$ je funkce na \mathbb{R}^3 .

3.8. Nechť $X = x\frac{\partial}{\partial x} + y^3\frac{\partial}{\partial y}$ a $f = x^2 + xy$. Určete funkce Xf .

3.9. Určete Lieovy závorky následujících vektorových polí:

a) $X = \sin u \frac{\partial}{\partial v} + \cos v \frac{\partial}{\partial u}$, $Y = u \frac{\partial}{\partial u} + v \frac{\partial}{\partial v}$;

b) $X = z^2 \frac{\partial}{\partial x} + xy \frac{\partial}{\partial y}$, $Y = xyz \frac{\partial}{\partial x} + y^2 \frac{\partial}{\partial y} + x \frac{\partial}{\partial z}$;

c) $X = x \frac{\partial}{\partial x} + y \frac{\partial}{\partial y}$, $Y = -y \frac{\partial}{\partial x} + x \frac{\partial}{\partial y}$.

3.10. Nechť M je varieta dimenze 1 a X, Y jsou vektorová pole na M , při tom $X_x \neq 0$ pro všechna $x \in M$ a platí, že $[X, Y] = 0$. Ukažte, že $Y = cX$ pro nějakou konstantu $c \in \mathbb{R}$.

3.11. Určete tvar vektorového pole $\sqrt{x^2 + y^2} \left(\frac{\partial}{\partial x} + \frac{\partial}{\partial y} \right)$ v polárních souřadnicích.

3.12. Nechť $x^1, \dots, x^n, y^1, \dots, y^n$ jsou standardní souřadnice na \mathbb{R}^{2n} . Ukažte, že zúžení vektorového pole

$$X = \sum_{i=1}^n \left(-y^i \frac{\partial}{\partial x^i} + x^i \frac{\partial}{\partial y^i} \right)$$

na sféru $S^{2n-1} \subset \mathbb{R}^{2n}$ je vektorovým polem bez nulových bodů na sféře.

3.13. Ukažte, že následující zobrazení určují toky, a určete odpovídající vektorová pole:

- $Fl_t^X(x, y) = (5t + x, 4t + y)$;
- $Fl_\varphi^X(x, y) = (x \cos \varphi - y \sin \varphi, x \sin \varphi + y \cos \varphi)$;
- $Fl_t^X(x, y) = (e^t x, e^{-t} y)$.

3.14. Určete integrální křivky následujících vektorových polí:

- $X = x \frac{\partial}{\partial x} + y \frac{\partial}{\partial y}$;
- $X = (x + y) \frac{\partial}{\partial x} + y \frac{\partial}{\partial y}$;
- $X = x^2 \frac{\partial}{\partial x} + y^2 \frac{\partial}{\partial y}$.

3.15. Určete integrální křivku vektorového pole X procházející bodem a pro

- $X = y \sin x \frac{\partial}{\partial x} + x \cos y \frac{\partial}{\partial y}$, $a = (0, 0)$;
- $X = -y \frac{\partial}{\partial x} + (x + 2y) \frac{\partial}{\partial y}$, $a = (2, -1)$;
- $X = y \frac{\partial}{\partial x} - x \frac{\partial}{\partial y}$, $a = (1, 1)$;
- $X = (2x - 5y) \frac{\partial}{\partial x} + 2x \frac{\partial}{\partial y}$, $a = (2, -1)$.

3.16. Pro vektorové pole X určete integrální křivku procházející bodem $(1, 1)$, tok Fl_t^X , pevné body toku a obraz čtverce $[-1, 1] \times [-1, 1] \subset \mathbb{R}^2$ v toku, jestliže

- $X = -x \frac{\partial}{\partial x} + y \frac{\partial}{\partial y}$;
- $X = -y \frac{\partial}{\partial x} + x \frac{\partial}{\partial y}$

3.17. Určete tok vektorového pole $X = x^2 \frac{\partial}{\partial x} + y \frac{\partial}{\partial y}$. Kam ten tok zobrazuje body $(0, 0)$ a $(-1, 2)$ během času $t = 1$?

3.18. Určete, které z následujících distribucí na $\{(x, y, z) \in \mathbb{R}^3 | x, y, z > 0\}$ jsou involutivní:

- distribuce generovaná vektorovými poli
 $X = x \frac{\partial}{\partial x} + y \frac{\partial}{\partial y} + z \frac{\partial}{\partial z}$, $Y = \frac{\partial}{\partial x} + \frac{\partial}{\partial y}$;
- distribuce generovaná vektorovými poli
 $X = xyz \frac{\partial}{\partial x} + y^2 \frac{\partial}{\partial y}$, $Y = x \frac{\partial}{\partial x} + (z + y) \frac{\partial}{\partial z}$.

3.19. Ukažte, že každá distribuce dimenze 1 je involutivní.

4. Tenzory

4.1. Nechť $A \in \otimes^r V$, $r \geq 2$. Ukažte, že platí následující tvrzení:

- $\text{Sym} A \in S^r V$; $A \in S^r V \Leftrightarrow \text{Sym} A = A$;
- $\text{Alt} A \in \Lambda^r V$; $A \in \Lambda^r V \Leftrightarrow \text{Alt} A = A$;
- $\text{Sym}(\text{Sym} A) = \text{Sym} A$; $\text{Alt}(\text{Alt} A) = \text{Alt} A$; $\text{Sym}(\text{Alt} A) = 0$; $\text{Alt}(\text{Sym} A) = 0$;
- $\Lambda^r V \cap S^r V = \{0\}$.

4.2. Určete dimenzi prostorů $\Lambda^r V$ a $S^r V$, jestliže $\dim V = n$.

4.3. Ukažte, že $\otimes^2 V = S^2 V \oplus \Lambda^2 V$.

4.4. Necht' $A \in \Lambda^2 V$, $B \in V$ jsou tenzory se souřadnicemi A^{ij} a B^i . Určete souřadnice tensoru $A \wedge B$.

4.5. Necht' $A \in \otimes^2 \mathbb{R}^2 \otimes (\mathbb{R}^2)^*$ je tensor se souřadnicemi

$$\begin{aligned} A_1^{11} &= 3, & A_2^{11} &= 0, & A_1^{12} &= 2, & A_2^{12} &= 1, \\ A_1^{21} &= 0, & A_2^{21} &= 1, & A_1^{22} &= 0, & A_2^{22} &= 5. \end{aligned}$$

Určete kontrakce dolního indexu s každým z horních indexů.

4.6. Určete vztah mezi souřadnicemi $A_{j_1 \dots j_s}^{i_1 \dots i_r}$ a $A_{j'_1 \dots j'_s}^{i'_1 \dots i'_r}$ tenzoru $A \in \otimes^r V \otimes \otimes^s V^*$ v různých bázích.

4.7. Přepište výsledek předchozí úlohy pomocí matic pro následující hodnoty (r, s) : a) $(1, 0)$; b) $(0, 1)$; c) $(2, 0)$; d) $(0, 2)$; e) $(1, 1)$.

4.8. Ukažte, že následující zobrazení jsou tenzory na euklidovském prostoru \mathbb{R}^3 . Určete jejich typy a souřadnice vzhledem ke standardní bázi prostoru \mathbb{R}^3 . Předpokládejme, že $X, Y, Z \in \mathbb{R}^3$ a $\xi, \eta \in \mathbb{R}^{3*}$.

- $g(X, Y) = (X, Y)$ je skalární součin vektorů;
- $f(X, Y) = [X, Y]$ je vektorový součin vektorů;
- $f(X, Y, \xi) = \xi([X, Y])$;
- $f(X, Y, Z) = (X, Y, Z)$ je smíšený součin vektorů;
- $f(X, \xi) = \xi(A(u))$, kde $A : \mathbb{R}^3 \rightarrow \mathbb{R}^3$ je lineární zobrazení;
- $f(X, Y, \xi, \eta) = \begin{vmatrix} \xi(X) & \eta(X) \\ \xi(Y) & \eta(Y) \end{vmatrix}$.

4.9. Uvažujeme na \mathbb{R}^3 tenzory s následujícími souřadnicemi:

$$(X^i) = \begin{pmatrix} 2 \\ 1 \\ 0 \end{pmatrix}, \quad (\xi_i) = (3 \ 7 \ 1), \quad (T_{ij}) = \begin{pmatrix} 1 & 0 & 2 \\ 2 & 0 & 1 \\ 0 & 1 & 0 \end{pmatrix}.$$

Určete souřadnice následujících tenzorů: a) $\xi(X)$; b) $\xi \otimes X$; c) $\text{tr}(\xi \otimes X)$; d) $T \otimes \xi$; e) $T \otimes X$; f) $\text{tr}_1^1(T \otimes X)$; g) $\text{tr}_2^1(T \otimes X)$; h) $\text{tr}_{12}^{12}(T \otimes X \otimes X)$.

4.10. Necht' (e_i) je báze prostoru \mathbb{R}^3 a (e^i) je odpovídající kobáze. Vypočtete $(\xi \otimes \eta)(X, Y)$, jestliže

- $\xi = e^1 - e^2 + 3e^3$, $\eta = e^1 + 2e^2 - e^3$, $X = e_1 - 2e_2 + e_3$, $Y = -e_1 + e_2$;
- $\xi = e^1 + e^2 - e^3$, $\eta = e^1 - e^2 + e^3$, $X = 2e_1 - 2e_2 - e_3$, $Y = e_1 + e_2 - 3e_3$.

4.11. Necht' $\xi, \eta \in V^*$ jsou nenulové. Ukažte, že pokud $\xi \otimes \eta = \eta \otimes \xi$, pak $\xi = \lambda\eta$, kde $\lambda \in \mathbb{R}$.

4.12. Určete souřadnice tenzorů $\text{Sym}(\xi \otimes \eta)$, $\text{Sym}(X \otimes Y)$, $\text{tr}_{12}^{12}(\text{Sym}(\xi \otimes \eta) \otimes \text{Sym}(X \otimes Y))$, $\text{tr}_{21}^{12}(\text{Sym}(\xi \otimes \eta) \otimes \text{Sym}(X \otimes Y))$, jestliže kovektory ξ, η a vektory X, Y mají následující souřadnice:

- $\xi = (1, -2)$, $\eta = (1, 1)$, $X = (1, 2)$, $Y = (1, -2)$;
- $\xi = (2, 1)$, $\eta = (1, -1)$, $X = (3, 2)$, $Y = (1, 1)$.

4.13. Nechť $b \in \otimes^2 V^*$. Ukažte, že pokud $b(X, X) = 0$ pro všechna $X \in V$, pak $\text{Symb} = 0$.

4.14. Nechť $A \in \wedge^2 V$ a $b \in S^2 V^*$. Určete $\text{tr}_{12}^2(A \otimes B)$.

4.15. Ukažte, že vektory $X_1, \dots, X_r \in V$ jsou lineárně nezávislé právě tehdy, když

$$X_1 \wedge \dots \wedge X_r \neq 0.$$

5. Tenzorová pole

5.1. Určete vztah mezi souřadnicemi tenzorového pole T typu (r, s) na \mathbb{R}^n ve dvou souřadnicových systémech x^1, \dots, x^n a $x^{1'}, \dots, x^{n'}$.

5.2. Nechť (x, y) a (r, φ) jsou standardní a polární souřadnice na \mathbb{R}^2 . Určete souřadnice kovektorového pole $\xi = xdx + ydy$ vůči polárním souřadnicím a souřadnice kovektorového pole $\eta = rdr + \varphi d\varphi$ vůči standardním souřadnicím.

5.3. Nechť x^1, x^2, x^3 a $x^{1'}, x^{2'}, x^{3'}$ jsou souřadnicové systémy, pro které

$$x^{1'} = x^1, \quad x^{2'} = x^1 + x^2, \quad x^{3'} = x^1 + x^2 + x^3.$$

Určete souřadnice tenzorového poli X vůči prvnímu systému, jestliže

$$X = x^{2'} \frac{\partial}{\partial x^{1'}} \otimes dx^{2'} - (x^{1'} + x^{2'}) \frac{\partial}{\partial x^{2'}} \otimes dx^{1'} + x^{3'} \frac{\partial}{\partial x^{3'}} \otimes dx^{3'}.$$

5.4. Nechť x^1, x^2, x^3 a $x^{1'}, x^{2'}, x^{3'}$ jsou souřadnicové systémy, pro které

$$x^{1'} = x^1, \quad x^{2'} = x^1 - x^2, \quad x^{3'} = x^1 - x^2 - x^3.$$

Určete tvar tenzorového pole X vůči druhému systému, jestliže

$$X = x^1 \frac{\partial}{\partial x^1} + x^2 \frac{\partial}{\partial x^2} + x^3 \frac{\partial}{\partial x^3}.$$

6. Vnější diferenciální formy

6.1. Určete $\omega(X)$, kde $\omega = zdx - dz$, $X = y \frac{\partial}{\partial x} + x \frac{\partial}{\partial y}$.

6.2. Určete $\alpha \wedge \beta$, jestliže

$$\alpha = a_1 dx + a_2 dy + a_3 dz, \quad \beta = b_1 dy \wedge dz + b_2 dz \wedge dx + b_3 dx \wedge dy.$$

6.3. Nechť $\omega = (x^2 + y^2)dx + xzdz$ a $\theta = zdy \wedge dx + xdz \wedge dx$. Určete $d\omega$, $d\theta$, $\omega \wedge \omega$, $\theta \wedge \theta$, $\omega \wedge \theta$, $d(\omega \wedge \theta)$.

6.4. Určete $d\omega$, jestliže a) $\omega = x^2 y dy - xy^2 dx$; b) $\omega = xdy + ydx$;

c) $\omega = f(x)dx + g(y)dy$; d) $\omega = xdy \wedge dz + ydz \wedge dx + zdx \wedge dy$;

e) $\omega = \frac{xdx + ydy}{x^2 + y^2}$; f) $\omega = xydx \wedge dz + zudz \wedge du$.

6.5. Ověřte, které z následujících 1-forem ω jsou uzavřené na D . Určete všechny funkce φ splňující $d\varphi = \omega$.

a) $\omega = xydx + \frac{x^2}{2}dy$, $D = \mathbb{R}^2$;

b) $\omega = xdx + xzdy + xydz$, $D = \mathbb{R}^2$;

c) $\omega = \left(\frac{1}{x^2} + \frac{1}{y^2}\right)(ydx - xdy)$, $D = \{(x, y) \in \mathbb{R}^2 | x, y > 0\}$.

6.6. Pro 1-formu

$$(3x^2 - 3yz + 2)dx + (3y^2 - 3xz + 1)dy + (3z^2 - 3xy + 1)dz = 0$$

na \mathbb{R}^3 určete všechny funkce f splňující $df = \omega$.

6.7. Určete $d\omega$, jestliže $\omega = d\theta \wedge \theta$ a θ je 2-formou na varietě M .

6.8. Nechť M je souvislá varieta. Ukažte, že $H^0(M) \cong \mathbb{R}$.

6.9. Ukažte, že vnější formy $\omega = xdx + ydy$ a $\eta = ydx + xdy$ na \mathbb{R}^2 jsou uzavřené. Ověřte, jestli tyto formy patří do stejné kohomologické třídy.

6.10. Nechť ω je exaktní forma a ξ je libovolná forma. Ukažte, že forma $\omega \wedge \xi$ je exaktní.

6.11. Nechť $f : \mathbb{R}^2 \setminus \{0\} \rightarrow \mathbb{R}^2 \setminus \{0\}$, $f(r, \varphi) = (r \cos \varphi, r \sin \varphi)$ je zobrazení. Ukažte, že

a) $f^* \left(\frac{xdx - ydy}{x^2 + y^2} \right) = d\varphi$; b) $f^*(xdx + ydy) = rdr$.

6.12. Nechť $g : \mathbb{R}^2 \rightarrow \mathbb{R}^3$, $g(u, v) = (uv, u \cos v, e^v)$ je zobrazení. Určete $d\omega$, $g^*\omega$, $g^*d\omega$ pro následující formy ω na \mathbb{R}^3 : a) $\omega = xdy$; b) $\omega = ydz \wedge dx$; c) $\omega = dx \wedge dy \wedge dz$.

6.13. Nechť $\omega = dp^1 \wedge dq^1 + \dots + dp^n \wedge dq^n$ je 2-forma na \mathbb{R}^{2n} . Ukažte, že ω je uzavřená a že pro její n -tou vnější mocninu platí

$$\omega \wedge \dots \wedge \omega = (-1)^{\frac{n(n-1)}{2}} n! dp^1 \wedge dq^1 \wedge \dots \wedge dp^n \wedge dq^n.$$

6.14. Ukažte, že 2-forma

$$\omega = xydx \wedge dy + 2xdy \wedge dz + 2ydx \wedge dz$$

na \mathbb{R}^3 je uzavřená, a určete aspoň jednu 1-formu θ splňující $d\theta = \omega$.

6.15. Určete $\int_M \omega$, kde ω je 1-forma z předchozí úlohy a

$$M = \{(x, y, z) \in \mathbb{R}^3 | x^2 + y^2 + z^3 = 1, z \geq 0\}.$$

6.16. Určete $\int_M \omega$, kde

a) $\omega = (x - y)dx + (x + y)dy$ a M je úsečka AB , $A = (2, 3)$, $B = (3, 5)$;

b) $\omega = ydx + xdy$, $M = \{(\cos t, \sin t) | t \in (0, \frac{\pi}{2})\} \subset \mathbb{R}^2$;

c) $\omega = xdx + ydy + (x + y - 1)dz$ a M je úsečka AB , $A = (1, 1, 1)$, $B = (2, 3, 4)$.

6.17. Určete

$$\int_M dx_3 \wedge dx_4 + x_1 x_3 dx_2 \wedge dx_4,$$

kde $M = T^2 = \{(x_1, x_2, x_3, x_4) \in \mathbb{R}^4 \mid x_1^2 + x_2^2 = 1, x_3^2 + x_4^2 = 1\}$. Uvažujte parametrizaci $g(u, v) = (\cos u, \sin u, \cos v, \sin v)$, $(u, v) \in (0, 2\pi) \times (0, 2\pi)$.

6.18. Pomocí Stokesovy věty určete $\int_M \omega$, kde

a) $\omega = (x^2 + y^2)dx + (x^2 - y^2)dy$ a M je obvod trojúhelníku s vrcholy $A = (0, 0)$, $B = (1, 0)$, $C = (0, 1)$;

b) $\omega = xydy \wedge dz + yzdz \wedge dx + xzdx \wedge dy$ a M je hranice standardního trojrozměrného simplexu v \mathbb{R}^3 .

6.19. Ukažte, že 2-forma $\omega = (x^2 + y^2 + z^2)^{-\frac{3}{2}}(xdy \wedge dz + ydz \wedge dx + zdx \wedge dy)$ na $\mathbb{R}^3 \setminus \{(0, 0, 0)\}$ je uzavřená, ale není exaktní.

6.20. Ukažte, že 1-forma $\omega = \frac{-ydy + xdx}{x^2 + y^2}$ na $\mathbb{R}^2 \setminus \{(0, 0)\}$ je uzavřená, ale není exaktní.

7. Lineární konexe a Riemannovy prostory

7.1. Nechť ∇ je lineární konexe na \mathbb{R}^2 s nulovými Christoffelovými symboly vůči souřadnicím x, y . Určete symbol $\Gamma_{r\varphi}^\varphi$ konexe ∇ vůči polárním souřadnicím r, φ .

7.2. Nechť ∇ je lineární konexe bez torse na varietě M a S je paralelní distribuce na M , tj. $\nabla_Y X \in \Gamma(S)$ pro všechna $X \in \Gamma(S)$, $Y \in \Gamma(TM)$. Ukažte, že distribuce S je involutivní.

7.3. Ukažte jak vypadají souřadnicové vzorce pro kovariantní derivace tenzorů následujících typů: a) $(0, 0)$; b) $(1, 0)$; c) $(0, 1)$; d) $(1, 1)$; e) $(2, 0)$; f) $(0, 2)$.

7.4. Určete $\nabla_i \delta_k^j$, kde je ∇ je lineární konexe.

7.5. Nechť tenzorové pole T typu $(0, 2)$ na \mathbb{R}^2 má následující souřadnice:

$$(T_{ij}) = \begin{pmatrix} 0 & x^1 + x^2 \\ 2x^2 & 1 \end{pmatrix}.$$

Určete kovariantní derivace tenzoru T vůči symetrické konexi bez torse mající Christoffelovy symboly

$$\begin{aligned} \Gamma_{11}^1 &= (x^1)^2, & \Gamma_{12}^1 &= x^1 x^2, & \Gamma_{22}^1 &= (x^2)^2, \\ \Gamma_{11}^2 &= 0, & \Gamma_{12}^2 &= \frac{x^1}{x^2}, & \Gamma_{22}^2 &= 0. \end{aligned}$$

7.6. Nechť ∇ je lineární konexe na \mathbb{R}^2 , která má vůči standardním souřadnicím nulové Christoffelovy symboly, pouze $\Gamma_{22}^2 = -1$. Určete výsledek paralelního přenesení vektoru $X = (1, 0)$ podél dráhy

$$x^1(t) = 2t + 1, \quad x^2(t) = -t, \quad 0 \leq t \leq 1$$

z bodu a_0 ($t_0 = 0$) do bodu a_1 ($t_1 = 1$).

7.7. Nechť ∇ je lineární konexe na \mathbb{R}^2 , která má vůči standardním souřadnicím nulové Christoffelovy symboly, pouze $\Gamma_{12}^1 = 1$. Určete symbol Γ_{11}^1 vůči souřadnicím $y^1 = x^1 + x^2$, $y^2 = x^1 - x^2$.

7.8. Necht' ∇ je lineární konexe na \mathbb{R}^2 , která má vůči standardním souřadnicím nulové Christoffelovy symboly, pouze $\Gamma_{12}^2 = 1$.

a) Necht' $g = dx^1 \otimes dx^1 + dx^2 \otimes dx^2$. Určete $\nabla_1 g_{12}$.

b) Najděte $\nabla \omega$, jestliže $\omega = dx^1 \wedge dx^2$.

7.9. Určete Christoffelovy symboly Riemannovy metriky

$$g = e^{2f}(dx^1 \otimes dx^1 + \dots + dx^n \otimes dx^n),$$

kde f je funkce. Najděte tenzor Ricciho metriky g pro $n = 2$.

7.10. Necht' ∇ je lineární konexe na \mathbb{R}^2 , která má nulové Christoffelovy symboly kromě

$$\Gamma_{12}^2 = \Gamma_{22}^2 = -\frac{2y}{1+y^2}$$

vůči souřadnicím $x^1 = x$, $x^2 = y$. Určete souřadnice tenzorů torze a křivostí.

7.11. Necht' R_{kij}^l jsou souřadnice tenzoru křivosti Riemannovy konexe metriky g_{ij} . Určete $g^{ij}R_{kij}^l$.

7.12. Určete metriku na sféře S^2 vůči

a) sférickým souřadnicím;

b) vůči souřadnicím definovaným pomocí stereografické projekce.

7.13. Určete Christoffelovy symboly pro metriku na sféře vůči souřadnicím z předchozí úlohy.

7.14. Řešte rovnice paralelního přenosu na sféře s metrikou $(d\theta)^2 + \sin^2 \theta (d\varphi)^2$ podél rovnoběžky $\theta = \theta_0$, $\varphi = t \in [0, 2\pi]$. Určete úhel mezi tečným vektorem ke sféře a jeho obrazem při paralelním přenosu podél této rovnoběžky.

7.15. Určete R , ∇R , Ric , ∇Ric a skalární křivost metriky na sféře vůči sférickým souřadnicím.

7.16. Uvažujeme metriku Minkowského

$$-(dt)^2 + (dx)^2 + (dy)^2$$

v číselném prostoru \mathbb{R}^3 a definujeme metriku g na povrchu Lobačevského $L^2 \subset \mathbb{R}^3$ jako metriku indukovanou. Určete metriku g

a) vůči souřadnicím (χ, φ) , kde (a, χ, φ) jsou pseudosférické souřadnice prostorů \mathbb{R}^3 , tj. $t = a \cosh \chi$, $x = a \sinh \chi \cos \varphi$, $y = a \sinh \chi \sin \varphi$;

b) vůči souřadnicím (u, v) definovaným pomocí stereografické projekce (kruhový model Poincarého geometrie Lobačevského);

c) vůči souřadnicím (r, s) modelu geometrie Lobačevského v horní polorovině

$$H = \{(r, s) \in \mathbb{R}^2 | s > 0\},$$

souřadnice (r, s) jsou definovaný vzorcem

$$r + is = i \frac{1 + u + iv}{1 - u - iv}.$$

7.17. Určete Christoffelovy symboly pro metriku povrchu Lobačevského vůči souřadnicím z předchozí úlohy.

7.18. Určete délku kružnice $(x + 1)^2 + (y - 5)^2 = 1$

a) vůči metrice $g = \frac{4}{(1+x^2+y^2)^2}((dx)^2 + (dy)^2)$;

b) vůči metrice $g = \frac{1}{s^2}((dr)^2 + (ds)^2)$.

7.19. Určete geodetické dráhy modelu geometrie Lobačevského

a) v kruhu; b) v horní polorovině.

7.20. Nechtě dvě konexe Γ_{ij}^k a $\tilde{\Gamma}_{ij}^k$ mají stejné geodetické dráhy. Ukažte, že každá konexe $\bar{\Gamma}_{ij}^k = \alpha\Gamma_{ij}^k + \beta\tilde{\Gamma}_{ij}^k$ ($\alpha + \beta = 1$) má tytéž geodetické dráhy.

7.21. Nechtě ∇ je lineární konexe na \mathbb{R}^2 , pro kterou

$$\nabla_{\frac{\partial}{\partial x}} \frac{\partial}{\partial x} = \frac{\partial}{\partial x}, \quad \nabla_{\frac{\partial}{\partial x}} \frac{\partial}{\partial y} = \nabla_{\frac{\partial}{\partial y}} \frac{\partial}{\partial x} = \nabla_{\frac{\partial}{\partial y}} \frac{\partial}{\partial y} = 0.$$

Najděte geodetiku $\gamma(t)$ takovou, že $\gamma(0) = (0, 0)$, $\dot{\gamma}(0) = \left(\frac{\partial}{\partial x}\right)_0$.

7.22. Nechtě $\gamma(t) = (t, t)$, $0 \leq t \leq 1$ je geodetika nějaké konexe na \mathbb{R}^2 . Určete výsledek paralelního přenosu vektoru $X = (2, 2) \in T_{\gamma(0)}\mathbb{R}^2$ podél γ .

7.23. Nechtě ∇ je lineární konexe na \mathbb{R}^2 , která má nulové Christoffelovy symboly, pouze

$$\Gamma_{11}^1 = \Gamma_{12}^2 = -\frac{2x}{1+x^2}.$$

Najděte geodetiky této konexe.

7.24. Najděte nutné a postačující podmínky pro to, aby každá křivka splňující $x = \text{const}$ byla geodetickou křivkou dané lineární konexe ∇ na \mathbb{R}^2 .

7.25. Ukažte, že Ricciho tenzor Riemannovy variety je symetrický.

7.26. Ukažte, že pro Riemannův prostor platí

$$g^{ki}\nabla_k \text{Ric}_{ij} = \frac{1}{2} \frac{\partial \text{Scal}}{\partial x^j}.$$

7.27. Nechtě je (M, g) Einsteinova varieta, tj. platí

$$\text{Ric} = \lambda g$$

pro vhodnou funkci λ . Najděte skalární křivost této variety. Ukažte, že pokud dimenze variety je větší než 2, pak funkce λ je konstantní.

7.28. Nechtě ∇ je lineární konexe na \mathbb{R}^2 , která má nulové Christoffelovy symboly, pouze

$$\Gamma_{11}^1 = \Gamma_{22}^1 = 1.$$

Najděte Ricciho tenzor této konexe.

7.29. Nechtě R_{kij}^l jsou souřadnice tenzoru křivosti lineární konexe bez torze. Určete R_{211}^1 a R_{121}^1 , jestliže $R_{112}^1 = x^1$.

7.30. Necht M je varieta s lineární konexí ∇ a $x \in M$. Ukažte, že množina paralelních přenosu podél po částech uzavřených hladkých drahách y bodu x tváří podgrupu grupy $GL(T_x M)$ všech lineárních izomorfizmů tečného prostoru $T_x M$. Tato grupa se jmenuje holonomickou grupou konexe ∇ z bodu x .

7.31. Ukažte, že pokud M je souvislá varieta, pak holonomcké grupy v různých bodech jsou izomorfní.

7.32. Určete holonomckou grupu dvourozměrné sféry.

7.33. Necht n -dimenzionální Riemannovská varieta (M, g) je plochá, tj. v okolí každého její bodu existuje n paralelních, bodově lineárně nezávislých vektorových polí. Dokažte, že

a) tenzor křivosti je nulový;

b) v okolí každého bodu existují souřadnice x^1, \dots, x^n takové, že $g = \delta_{ij} dx^i dx^j$.

Návody a výsledky cvičení

1.1. a) $J = \begin{pmatrix} 3 \cos t & -3\rho \sin t \\ 4 \sin t & 4\rho \cos t \end{pmatrix}$; $\det J = 12\rho$; je imerse, submerse a difeomorfismus na svůj obraz;

b) $J = \begin{pmatrix} -\sin u \cos v & -\cos u \sin v \\ \cos u \cos v & -\sin u \sin v \\ 0 & \cos v \end{pmatrix}$ je imerse, není submerse, je difeomorfismus na svůj obraz;

c) $J = \begin{pmatrix} \frac{1}{2\sqrt{\rho}} \cos \varphi & -\sqrt{\rho} \sin \varphi \\ \frac{1}{2\sqrt{\rho}} \sin \varphi & \sqrt{\rho} \cos \varphi \\ 1 & 0 \end{pmatrix}$ je imerse, není submerse, je difeomorfismus na svůj obraz;

d) $J = \frac{2}{(1+u^2+v^2)^2} \begin{pmatrix} 1-u^2+v^2 & -2uv \\ -2uv & 1+u^2-v^2 \end{pmatrix}$; $\det J = \frac{4(1-u^2-v^2)}{(1+u^2+v^2)^3}$ není imerse, není submerse, a není difeomorfismus na svůj obraz.

1.4. Předpokládejte, že existuje difeomorfismus ψ nějakého okolí U bodu $(0, 0) \in \mathbb{R}^2$ na otevřenou podmnožinu v \mathbb{R}^2 , který zobrazuje $M \cap U$ na podmnožinu množiny $\{(x, 0) | x \in \mathbb{R}\}$ a ukažte, že Jakobián zobrazení ψ v bodě $(0, 0)$ je roven 0.

1.7. Je podvarietou.

1.8. Je podvarietou.

1.9. $c \neq 0$.

1.10. n^2 .

1.11. $n^2 - 1$.

1.12. $\frac{n(n-1)}{2}$.

1.14. 1. způsob: aplikujte předchozí úlohu; 2. způsob: zadejte anuloid jako řešení soustavy rovnic.

2.1. Není slučitelnou mapou.

2.8. Tato mapa by musela být homeomorfismem sféry (což je kompaktní topologický prostor) a otevřené podmnožiny eukleidovského prostoru.

3.1. Ukažte, že tečné zobrazení v libovolném bodě je isomorfismem.

3.2. Přímka $2x + y - 2\sqrt{2} = 0$.

3.4. Množina čtvercových matic řádu n s nulovou stopou.

3.5. Množina antisymetrických čtvercových matic řádu n .

3.7. $2x^2 + 2y^2$.

3.8. $2x^2 + xy^3 + xy$.

3.9. a) $(\cos v + v \sin v) \frac{\partial}{\partial u} + (\sin u - u \cos u) \frac{\partial}{\partial v}$;

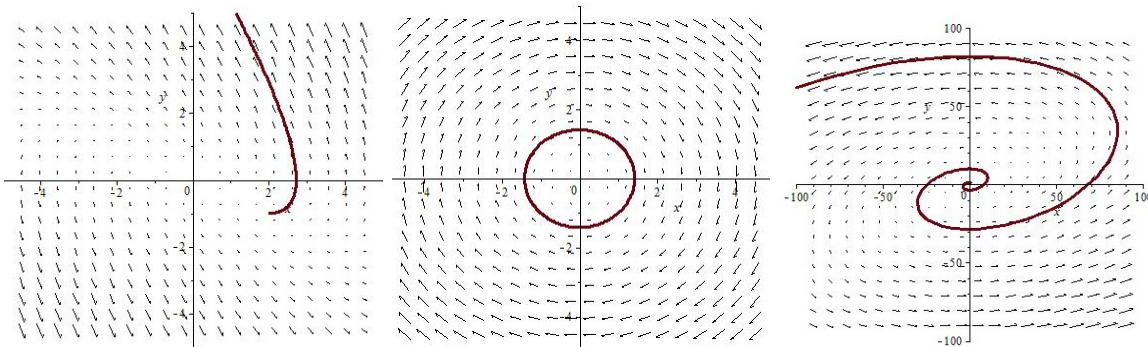
b) $(yz^3 - 2xz + x^2yz) \frac{\partial}{\partial x} + (xy^2 - xy^2z) \frac{\partial}{\partial y} + z^2 \frac{\partial}{\partial z}$; c) 0.

3.11. $r(\cos \varphi + \sin \varphi) \frac{\partial}{\partial r} + (\cos \varphi - \sin \varphi) \frac{\partial}{\partial \varphi}$.

3.13. a) $5 \frac{\partial}{\partial x} + 4 \frac{\partial}{\partial y}$; b) $-y \frac{\partial}{\partial x} + x \frac{\partial}{\partial y}$; c) $x \frac{\partial}{\partial x} - y \frac{\partial}{\partial y}$.

3.14. a) $x(t) = x_0 e^t, y(t) = y_0 e^t$; b) $x(t) = (x_0 + y_0 t) e^t, y(t) = y_0 e^t$; c) $x(t) = \frac{x_0}{1 - x_0 t}, y(t) = \frac{y_0}{1 - y_0 t}$.

3.15. a) $x(t) = 0, y(t) = 0$; b) $x(t) = (2 - t)e^t, y(t) = (t - 1)e^t$; c) $x(t) = \cos t + \sin t, y(t) = \cos t - \sin t$; d) $x(t) = e^t (\cos 3t - \frac{40}{9} \sin 3t), y(t) = e^t (\cos 3t + \frac{1}{9} \sin 3t)$.



OBRÁZEK 2. Integrální křivky vektorových poli b), c), d) z úlohy 3.15

3.16. a) Integrální křivka: $x(t) = e^{-t}, y(t) = e^t, t \in \mathbb{R}$; tok: $Fl_t^X(x, y) = (xe^{-t}, ye^t)$; pevný bod: $(0, 0)$; obrazem čtverce je obdélník $[-e^{-t}, e^{-t}] \times [-e^t, e^t]$;

b) Integrální křivkou je kružnice: $x(t) = \cos t - \sin t, y(t) = \cos t + \sin t, t \in \mathbb{R}$; tok je soustava rotací: $Fl_t^X(x, y) = (x \cos t - y \sin t, x \sin t + y \cos t)$; pevný bod: $(0, 0)$; obrazem čtverce je čtverec $[-1, 1] \times [-1, 1]$ otočený o úhel t .

3.17. Tok: $Fl_t^X(x, y) = (\frac{xt}{1-xt}, ye^t)$; bod $(0, 0)$ zůstává na místě; tok zobrazuje bod $(-1, 2)$ na bod $(-\frac{1}{2}, 2e)$.

3.18. a) je involutivní; b) není involutivní.

$$4.2. \binom{n}{r}; \binom{n+r-1}{r}.$$

$$4.4. \frac{1}{3}(A^{ij}B^k + A^{jk}B^i + A^{ki}B^j).$$

$$4.5. A_i^{1i} = 4; A_i^{2i} = 5; A_i^{i1} = 4; A_i^{i2} = 7.$$

4.6. $A_{j'_1 \dots j'_s}^{i'_1 \dots i'_r} = B_{i'_1}^{i_1} \dots B_{i'_r}^{i_r} B_{j'_1}^{j_1} \dots B_{j'_s}^{j_s} A_{j_1 \dots j_s}^{i_1 \dots i_r}$, kde $(B_{i'}^i)$ je matice přechodu od první báze (e_i) k druhé bázi $(e_{i'})$, tj $e_{i'} = B_{i'}^i e_i$, a $(B_{i'}^i) = B^{-1}$ je inverzní matice, tj. $B_{i'}^i B_j^{i'} = \delta_j^i$.

4.7. a) $(A^{i'}) = B^{-1} \cdot (A^i)$; b) $(A_{i'}) = B \cdot (A_i)$; c) $(A^{i'j'}) = B^{-1} \cdot (A^{ij}) \cdot (B^{-1})^T$; d) $(A_{i'j'}) = B^T \cdot (A_{ij}) \cdot B$; e) $(A_{j'}^i) = B^{-1} \cdot (A_j^i) \cdot B$.

4.8. a) $g \in \otimes_2 \mathbb{R}^3$, $g_{ij} = \delta_{ij}$;

b), c) $f \in \otimes_2^1 \mathbb{R}^3$, nenulové souřadnice: $f_{12}^3 = -f_{21}^3 = f_{31}^2 = -f_{13}^2 = f_{23}^1 = -f_{32}^1 = 1$;

d) $f \in \otimes_3 \mathbb{R}^3$, nenulové souřadnice: $f_{123} = f_{231} = f_{312} = -f_{213} = -f_{132} = -f_{321} = 1$;

e) $f \in \otimes_1^1 \mathbb{R}^3$, $f_j^i = A_j^i$, kde (A_j^i) je matice lineárního zobrazení A ;

f) $f \in \otimes_2^2 \mathbb{R}^3$, $f_{kl}^{ij} = \delta_k^i \delta_l^j - \delta_l^i \delta_k^j$.

4.9. a) 13; b) $(\xi \otimes X)_j^i = \begin{pmatrix} 6 & 14 & 2 \\ 3 & 7 & 1 \\ 0 & 0 & 0 \end{pmatrix}$; c) 13; f) (4 0 5); g) (2 4 1); h) 8.

4.10. a) 6; b) -6.

4.12. a) $(\text{Sym}(\xi \otimes \eta)_{ij}) = \begin{pmatrix} 1 & -\frac{1}{2} \\ -\frac{1}{2} & -2 \end{pmatrix}$, $(\text{Sym}(X \otimes Y)^{ij}) = \begin{pmatrix} 1 & 0 \\ 0 & -4 \end{pmatrix}$, $\text{tr}_{12}^{12}(\text{Sym}(\xi \otimes \eta) \otimes \text{Sym}(X \otimes Y)) = 9$, $\text{tr}_{21}^{12}(\text{Sym}(\xi \otimes \eta) \otimes \text{Sym}(X \otimes Y)) = 9$;

b) $(\text{Sym}(\xi \otimes \eta)_{ij}) = \begin{pmatrix} 2 & -\frac{1}{2} \\ -\frac{1}{2} & -1 \end{pmatrix}$, $(\text{Sym}(X \otimes Y)^{ij}) = \begin{pmatrix} 3 & \frac{5}{2} \\ \frac{5}{2} & 2 \end{pmatrix}$, $\text{tr}_{12}^{12}(\text{Sym}(\xi \otimes \eta) \otimes \text{Sym}(X \otimes Y)) = \frac{3}{2}$, $\text{tr}_{21}^{12}(\text{Sym}(\xi \otimes \eta) \otimes \text{Sym}(X \otimes Y)) = \frac{3}{2}$.

4.14. 0.

5.1.

$$A_{j'_1 \dots j'_s}^{i'_1 \dots i'_r} = \frac{\partial x^{i'_1}}{\partial x^{i_1}} \dots \frac{\partial x^{i'_r}}{\partial x^{i_r}} \frac{\partial x^{j_1}}{\partial x^{j'_1}} \dots \frac{\partial x^{j_s}}{\partial x^{j'_s}} A_{j_1 \dots j_s}^{i_1 \dots i_r}.$$

5.2. $\xi = r dr$, $\eta = \left(x - \frac{y}{x^2+y^2} \arctan \frac{y}{x} \right) dx + \left(y + \frac{x}{x^2+y^2} \arctan \frac{y}{x} \right) dy$.

5.3. $(X_j^i) = \begin{pmatrix} x^1 + x^2 & x^1 + x^2 & 0 \\ -3x^1 - 2x^2 & -x^1 - x^2 & 0 \\ 3x^1 + 2x^2 + x^3 & x^1 + x^2 + x^3 & x^1 + x^2 + x^3 \end{pmatrix}$.

5.4. $X = x^{1'} \frac{\partial}{\partial x^{1'}} + x^{2'} \frac{\partial}{\partial x^{2'}} + x^{3'} \frac{\partial}{\partial x^{3'}}$.

6.1. yz .

6.2. $(a_1 b_1 + a_2 b_2 + a_3 b_3) dx \wedge dy \wedge dz$.

6.3. $d\omega = -2y dx \wedge dy + z dx \wedge dz$, $d\theta = -dx \wedge dy \wedge dz$, $\omega \wedge \omega = 0$, $\theta \wedge \theta = 0$, $\omega \wedge \theta = -xz^2 dx \wedge dy \wedge dz$, $d(\omega \wedge \theta) = 0$.

6.4. a) $4xy dx \wedge dy$; b) 0; c) 0; d) $3dx \wedge dy \wedge dz$; e) 0; f) $-x dx \wedge dy \wedge dz$.

6.5. a) $\varphi = \frac{1}{2} x^2 y + c$; b) ω není uzavřená; c) $\varphi = \frac{x}{y} - \frac{y}{x} + c$.

6.6. $f = x^3 + y^3 + z^3 - 3xyz + 2x + y \ln y + z + c$.

6.7. 0.

6.9. Patří do stejné kohomologické třídy.

6.10. Necht $\omega = d\theta$, pak $d(\theta \wedge \xi) = \omega \wedge \xi$.

6.12. a) $d\omega = dx \wedge dy$, $g^*\omega = uv \cos v du - u^2 v \sin v dv$, $g^*(d\omega) = -(uv \sin v + u \cos v) du \wedge dv$;
b) $d\omega = dx \wedge dy \wedge dz$, $g^*\omega = -e^v uv \cos v du \wedge dv$, $g^*d\omega = 0$; c) $d\omega = 0$, $g^*\omega = 0$, $g^*d\omega = 0$.

6.14. $\theta = \frac{1}{2}x^2 y dy + 2xy dz$.

6.15. 0.

6.16. a) $\frac{23}{2}$; b) 0; c) 13.

6.17. π^2 .

6.18. a) $\frac{4}{3}$; b) $\frac{1}{8}$.

6.19. Důkaz neexaktnosti: 1. ukažte, že $\int_{S^2} \omega \neq 0$; 2. pomocí Stokesovy věty ukažte, že pro libovolnou exaktní 2-formu ω je $\int_{S^2} \omega = 0$.

7.1. $\frac{1}{r}$.

7.3. a) $f \in C^\infty(M)$, $\nabla_k f = \partial_k f$;

b) $X \in \Gamma(TM)$, $\nabla_k X^i = \partial_k X^i + \Gamma_{jk}^i X^j$;

c) $\xi \in \Gamma(T^*M)$, $\nabla_k \xi_i = \partial_k \xi_i - \Gamma_{ik}^j \xi_j$;

d) $A \in \Gamma(\otimes_1^2 TM)$, $\nabla_k A_i^j = \partial_k A_i^j + \Gamma_{lk}^j A_i^l - \Gamma_{ik}^l A_l^j$;

e) $A \in \Gamma(\otimes^2 TM)$, $\nabla_k A^{ij} = \partial_k A^{ij} + \Gamma_{lk}^i A^{lj} + \Gamma_{lk}^j A^{il}$;

f) $A \in \Gamma(\otimes_2^2 TM)$, $\nabla_k A_{ij} = \partial_k A_{ij} - \Gamma_{ik}^l A_{lj} - \Gamma_{jk}^l A_{il}$.

7.4. 0.

$$7.5. (\nabla_1 T_{ij}) = \begin{pmatrix} 0 & 1 - (x^1 + x^2) \left((x^1)^2 - \frac{x^1}{x^2} \right) \\ -2x^1(1 + x^1 x^2) & -2\frac{x^1}{x^2} - (x^1 + 3x^2)x^1 x^2 \end{pmatrix},$$

$$(\nabla_2 T_{ij}) = \begin{pmatrix} -(x^1 + 3x^2)\frac{x^1}{x^2} & 1 - (x^1 + x^2)x^1 x^2 - \frac{x^1}{x^2} \\ 2(1 - x^1 x^2)^2 - \frac{x^1}{x^2} & -(x^1 + 3x^2)(x^2)^2 \end{pmatrix}.$$

7.6. (1, 0).

7.7. $\frac{1}{4}$.

7.8. a) 0; b) nenulové komponenty $\nabla_i \omega_{jk}$: $\nabla_1 \omega_{12} = -\nabla_1 \omega_{21} = -1$.

7.9. $\Gamma_{ij}^k = \delta_{kj} \partial_i f + \delta_{ki} \partial_j f - \delta_{ij} \partial_k f$; $\text{Ric}_{11} = \text{Ric}_{22} = -\partial_1^2 f - \partial_2^2 f$, $\text{Ric}_{12} = \text{Ric}_{21} = 0$.

7.10. Nenulové komponenty: $T_{12}^2 = -T_{21}^2 = -\frac{2y}{1+y^2}$; $R_{212}^2 = -R_{221}^2 = -2\frac{1-y^2}{(1+y^2)^2}$.

7.11. 0.

7.12. a) $g = (d\theta)^2 + \sin^2 \theta (d\varphi)^2$; b) $g = \frac{4}{(1+u^2+v^2)^2} ((du)^2 + (dv)^2)$.

7.13. a) Nenulové symboly: $\Gamma_{22}^1 = -\sin \theta \cos \theta$, $\Gamma_{11}^2 = \cotan \theta$;

b) $-\Gamma_{11}^1 = \Gamma_{22}^1 = -\Gamma_{12}^2 = \frac{2u}{1+u^2+v^2}$, $-\Gamma_{12}^1 = \Gamma_{11}^2 = -\Gamma_{22}^2 = \frac{2v}{1+u^2+v^2}$.

7.14. $X^1(t) = \sin \theta_0 (c_1 \sin(\cos \theta_0 t) - c_2 \cos(\cos \theta_0 t))$, $X^2(t) = c_1 \cos(\cos \theta_0 t) + c_2 \sin(\cos \theta_0 t)$, úhel je $2\pi \cos \theta_0$.

7.15. Nenulové komponenty R : $R_{212}^1 = -R_{221}^1 = \sin^2 \theta$, $R_{112}^2 = -R_{121}^2 = -1$, $(x^1 = \theta, x^2 = \varphi)$; $\nabla R = 0$, $\text{Ric} = g$, $\nabla \text{Ric} = 0$, $\text{Scal} = 2$.

7.16. a) $g = (d\chi)^2 + \sinh^2 \chi (d\varphi)^2$; b) $g = \frac{4}{(1-u^2-v^2)^2} ((du)^2 + (dv)^2)$

c) $g = \frac{1}{s^2} ((dr)^2 + (ds)^2)$.

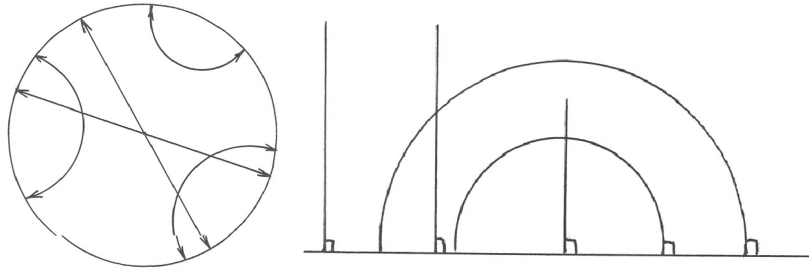
7.17. a) Nenulové symboly: $\Gamma_{22}^1 = -\sinh \chi \cosh \chi$, $\Gamma_{11}^2 = \cotanh \chi$;

b) $\Gamma_{11}^1 = -\Gamma_{22}^1 = \Gamma_{12}^2 = \frac{2u}{1-u^2-v^2}$, $\Gamma_{12}^1 = -\Gamma_{11}^2 = \Gamma_{22}^2 = \frac{2v}{1-u^2-v^2}$;

c) nenulové symboly: $-\Gamma_{12}^1 = \Gamma_{11}^2 = -\Gamma_{22}^2 = \frac{1}{s}$.

7.18. a) $\frac{2\pi}{\sqrt{170}}$; b) $\frac{\pi}{\sqrt{6}}$.

7.19. a) oblouky kružnic kolmých na hranici kruhu, a průměry kruhu; b) polokružnice se středy na ose x a polopřímky kolmé na ose x (viz. obrázek 3).



OBRÁZEK 3. Geodetické dráhy geometrie Lobačevského

7.20. Pro důkaz faktu, že každá geodetická dráha konexe Γ (a $\tilde{\Gamma}$) je geodetickou drahou konexe $\bar{\Gamma}$, stačí uvažovat odpovídající rovnice. Opačně, necht' $\bar{\gamma}$ je geodetická dráha pro $\bar{\Gamma}$. Necht' γ je geodetická dráha pro Γ (a $\tilde{\Gamma}$) splňující $\gamma(0) = \bar{\gamma}(0)$, $\dot{\gamma}(0) = \dot{\bar{\gamma}}(0)$. Pak γ je geodetickou drahou pro $\bar{\Gamma}$. Z uvedených podmínek vyplývá, že $\gamma = \bar{\gamma}$.

7.21. $x(t) = \ln(t+1)$, $y(t) = 0$.

7.22. $(2, 2) \in T_{\gamma(1)}\mathbb{R}^2$.

7.23. $ax + by + c = 0$, kde a, b, c jsou libovolné konstanty a $a^2 + b^2 \neq 0$.

7.24. $\Gamma_{22}^1 = 0$.

7.25. Využijte první Bianchiho identitu.

7.26. Využijte druhou Bianchiho identitu.

7.27. $\text{Scal} = n\lambda$; pro důkaz konstantnosti λ využijte předchozí úlohu.

7.28. Nenulová komponenta: $\text{Ric}_{22} = 1$.

7.29. $R_{211}^1 = 0$; $R_{121}^1 = -x^1$.

7.31. Pokud γ je uzavřenou křivkou v bodě x a μ je křivka s počátkem v bodě x a koncem v bodě y , pak kompozice μ a λ je uzavřená křivka v bodě y . Zvolíme-li pevně μ a uvažujeme-li paralelní přenosy, dostaneme jisté zobrazení z grupy holonomie v bodě x do grupy holonomie v bodě y .

7.32. $\text{SO}(2)$, tj. grupa všech rotací tečné roviny.

7.33. b) necht' lokální vektorová pole X_1, \dots, X_n jsou paralelní. Ukažte, že jejich Lieovy závorky jsou nulové. To znamená, že existují souřadnice x^1, \dots, x^n takové, že $X_i = \frac{\partial}{\partial x^i}$.

Použitá literatura

- [1] Agricola I.; Friedrich Th. *Global analysis. Differential forms in analysis, geometry and physics*. Translated from the 2001 German original by Andreas Nestke. Graduate Studies in Mathematics, 52. American Mathematical Society, Providence, RI, 2002. xiv+343 pp.
- [2] KOLÁŘ I. *Úvod do globální analýzy*. 1. vyd. Brno: Masarykova univerzita, 2003. iv, 118 s.
- [3] Malakhaltsev M. A., Fomin B. E. *Sbornik zadač po tenzornomu analizu*. (Russian) [*Collection of problems in tensor analysis*] Kazan, Kazanskij gosudarstvennyj universitet. 2008. 91 s.
- [4] Mishchenko A. S.; Solov'ev Yu. P.; Fomenko A. T. *Sbornik zadač po differentsial'noj geometrii i topologii*. (Russian) [*Collection of problems in differential geometry and topology*] Moskov. Gos. Univ., Moscow, 1981. 184 s.
- [5] Novikov, S. P.; Fomenko, A. T. Basic elements of differential geometry and topology. Translated from the Russian by M. V. Tsaplina. Mathematics and its Applications (Soviet Series), 60. Kluwer Academic Publishers Group, Dordrecht, 1990. x+490 pp.
- [6] Novikov S. P.; Taimanov I. A. *Modern geometric structures and fields*. Translated from the 2005 Russian original by Dimitry Chibisov. Graduate Studies in Mathematics, 71. American Mathematical Society, Providence, RI, 2006. xx+633 pp.
- [7] Robbin J. W., Salamon D. A. *Introduction to Differential Geometry*. ETH, Lecture Notes. 2013. Available on <http://www.math.ethz.ch/~salamon/PREPRINTS/diffgeo.pdf>
- [8] Tu L. W. *An introduction to manifolds*. Second edition. Universitext. Springer, New York, 2011. xviii+411 pp.